

طراحی و ساخت تغییر فاز دهنده سه بیتی دیودی با میکرواستریپ در فرکانس 9.3 GHz و نتایج ساخت

ابوالقاسم زیدآبادی نژاد
دانشجوی دکترای مخابرات

فروهر فرزانه
استادیار

دانشکده برق، دانشگاه صنعتی شریف

چکیده

تغییر فاز دهنده های نیمه هادی به دلیل وزن کم، عدم حساسیت حرارتی، مشخصه فاز قابل تکرار، سادگی مدار محرک و سرعت سوئیچینگ زیاد بر تغییر فاز دهنده های فربتی برتری دارند. علاوه بر این می توان از تکنولوژی مدارهای مجتمع برای تولید اتوماتیک آنها استفاده کرد. تاکنون ساخت تغییر فاز دهنده دیودی میکرواستریپی تا باند C و نوع استریپ لاین در باند X و به صورت MMIC با FET در باند K صورت گرفته است. در این مقاله طراحی و ساخت یک تغییر فاز دهنده سه بیتی PIN دیودی با میکرواستریپ در فرکانس 9.3 GHz ارائه می گردد.

Design and Construction of A PIN Diode 3-Bit Phase Shifter in 9.3GHz with Microstrip and Test Results

F. Farzaneh
Assistant Professor

A. Zeidaabadi
Ph.D Student

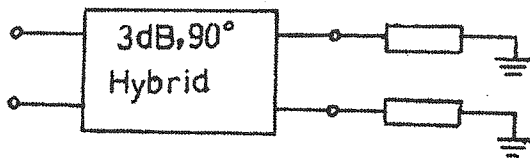
Sharif University of Technology

Abstract:

The PIN diode phase shifters possess important advantages over ferrite devices; among these are light weight, temperature stability, repeatable insertion phase characteristics, simple driver requirements, and high switching speed. Furthermore production techniques can borrow heavily from integrated circuit technology with high degree of automation. At present construction of microstrip diode phase shifters upto C-band, with stripline in X-band, and MMIC FET in K-band has been reported. In this paper design and construction of a PIN diode 3-bit phase shifter with microstrip in 9.3 GHz is presented.

۱- مقدمه

از چندین شکل مختلف برای مدار تغییر فاز دهنده استفاده می‌شود. اما استفاده از تزویج کننده هیبرید ۹۰ درجه ۳dB با پایانه‌های منعکس کننده دیودی مانند شکل (۱) کاربرد بیشتری دارد [۱]. مزایای این مدار این است که از حداقل تعداد دیود (دو تا به ازای هر بیت فاز) استفاده می‌کند. عملکرد آن همپاسخ است و هر تغییر فاز تفاضلی دلخواه با طراحی مناسب مدار پایانه قابل حصول است.



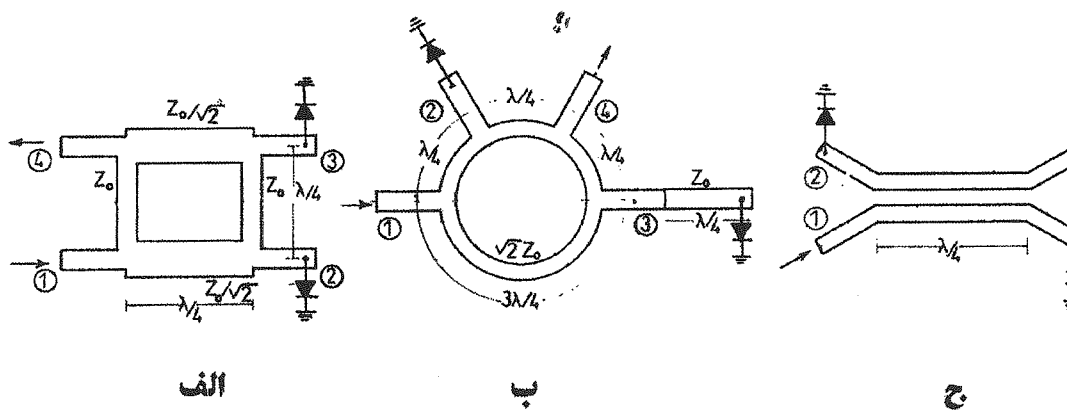
شکل (۱) تغییر فاز دهنده انعکاسی با تزویج کننده هیبرید

حداقل سه نوع مدار مختلف برای تحقق تزویج کننده هیبرید ۹۰ درجه ۳dB وجود دارد که عبارتند از: هیبرید شاخه‌ای، Rat Race، و تزویج کننده موج برگشتی^۱ که در شکل (۲) نشان داده شده‌اند. در این قسمت هر یک را به طور مختصر توضیح می‌دهیم.

در کاربردهای آنتن آرایه فازی برای ادوات هوایی از قبیل هواپیما و موشک، تغییر فاز دهنده‌های نیمه هادی به دلیل وزن کم، عدم حساسیت به درجه حرارت، مشخصه‌های فاز قابل تکرار، سادگی مدار محرک، و سرعت سوئیچینگ زیاد بر تغییر فاز دهنده‌های فریتی برتری دارند [۴]. علاوه بر این می‌توان از تکنولوژی مدارهای مجتمع برای تولید اتوماتیک آنها استفاده کرد. در مرجع [۵] نتایج ساخت یک تغییر فاز دهنده سه بیتی با FET و تکنولوژی MMIC در فرکانس 17.5GHz با ابعاد 1.8mm x 6.4mm توسط Aditya K Gupta و سایرین ارائه شده است. تغییر فاز دهنده‌های PIN دیودی میکرواستریپی ساخته شده [۶ و ۷ و ۳ و ۲ و ۱] تا فرکانس‌های باند C می‌باشند. در مرجع [۴] ساخت تغییر فاز دهنده سه بیتی PIN دیودی در باند X با استریپ لاین ارائه شده است. در این مقاله نتایج طراحی و ساخت یک تغییر فاز دهنده سه بیتی PIN دیودی در فرکانس 9.3GHz با استفاده از میکرواستریپ ارائه می‌گردد. در این زمینه مداری ساخته شده که در آن دیودها و خازن‌های کوپلاژ DC دارای بسته بندی بوده و ابعاد مدار 6 Cm x 14 Cm می‌باشد.

۲- تئوری

۲-۱- مدار تغییر فاز دهنده با تزویج کننده هیبرید ۹۰ درجه ۳dB



شکل (۲) تغییر فاز دهنده یک بیتی با استفاده از تزویج کننده هیبرید ۹۰ درجه ۳dB

الف) هیبرید شاخه‌ای

ب) Rat Race

ج) تزویج کننده موج برگشتی

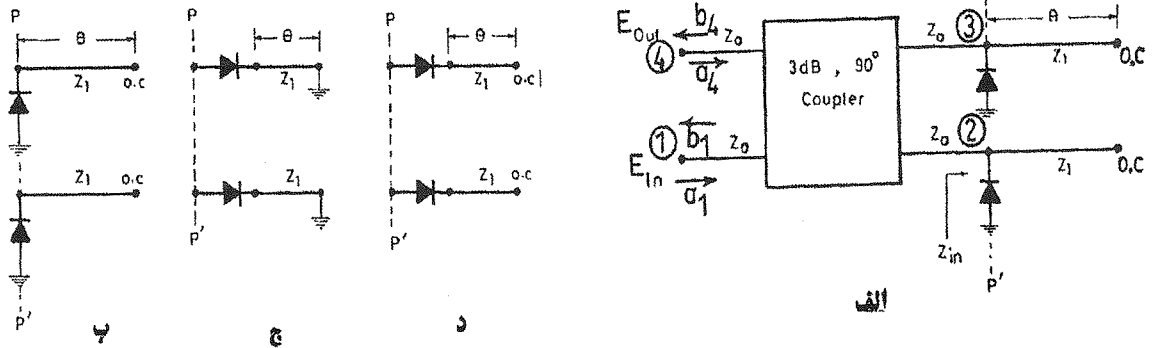
۹۰ درجه اما اختلاف فاز لازم به طور ساده ای با تغییر صفحه مرجع یکی از دهانه ها به اندازه ۹۰ درجه حاصل می شود. مزیت آن برای تغییر فازدهنده های فرکانس بالا این است که امپدانس مشخصه های لازم برای ساخت تزویج کننده $70 / \Omega$ و 50Ω هستند و مسئله پهنای زیاد خط که در هیبرید شاخه ای ذکر شد وجود ندارد.

تزویج کننده موج برگشتی^(۱) دارای بیشترین پهنای باند است، چون از نظر تئوری تزویج ۳dB و ۹۰ درجه اختلاف فاز و تطبیق امپدانس مستقل از فرکانس هستند. اما ساخت این تزویج کننده به دلیل تزویج زیاد ۳dB با میکرواستریپ امکان پذیر نیست.

برای مدارهای سوئیچ کننده پایانه های انعکاسی مدار هیبرید هم اشکال مختلفی وجود دارد [۲]. برخی از این مدارها در شکل (۳) نشان داده شده اند.

مزیت تزویج کننده شاخه ای اینست که در یک صفحه تحقق می یابد و با میکرواستریپ قابل ساخت است. چون باید هم اختلاف فاز ۹۰ درجه و هم تزویج ۳dB را ایجاد کند و از دهانه های ورودی و خروجی تطبیق امپدانس داشته باشد، پهنای باند آن به ۵% تا ۱۰% محدود می شود. عیب تزویج کننده شاخه ای این است که در یک سیستم 50Ω دو بازوی آن امپدانس مشخصه 25Ω دارند که پهنای خط زیاد می شود و در فرکانس بالا عرض خط با طول آن قابل مقایسه می شود، در نتیجه محل تقاطع دو خط را نمی توان به صورت اتصال ساده دو خط انتقال مدل کرد، بلکه محل اتصال خود به صورت شبکه پیچیده ای مدل می شود.

Rat Race به طور اکید یک هیبرید نیست. چون دو دهانه خروجی ۳dB آن ۱۸۰ درجه اختلاف فاز دارند نه



شکل (۳) انواع مختلف پایانه های انعکاسی

که در آن Y_1 ادمیتانس مشخصه خط و $G_f + jB_f$ ادمیتانس دیود در حالت بایاس مستقیم می باشند. اگر نسبت به ادمیتانس مشخصه خط اصلی Y_0 نرمالیزه کنیم، داریم:

$$y_{inf} = g_f + jb_f + jy_1 \tan \theta \quad (2)$$

و ضریب انعکاس در صفحه pp' برابر است با:

دیودها را می توان سری یا موازی بست و انتهای خط انتقال پشت دیود را می توان مدارباز یا اتصال کوتاه کرد. با توجه به شکل (۳-ب) امپدانس دیده شده از صفحه pp' در حالتی که دیودها با بایاس مستقیم هستند برابر است با:

$$Y_{inf} = G_f + jB_f + jY_1 \tan \theta \quad (1)$$

از ترکیب روابط (۵) و (۶) به دست می آوریم:

$$\begin{bmatrix} b_1 \\ b_4 \end{bmatrix} = \begin{bmatrix} 0 & j\Gamma_{f,r} \\ j\Gamma_{f,r} & 0 \end{bmatrix} \begin{bmatrix} a_1 \\ a_4 \end{bmatrix} \quad (7)$$

یعنی رابطه میدان الکتریکی خروجی E_{out} و میدان الکتریکی ورودی E_{in} دو حالت بایاس به صورت زیر است:

$$E_{outf} = j\Gamma_f E_{in} \quad (8)$$

$$E_{outr} = j\Gamma_r E_{in} \quad (9)$$

بنابر این افت عبوری در دو حالت بایاس برابر است

با:

$$\alpha_f = 10 \log_{10} \left[\frac{(1 + g_f)^2 + (b_f + y_1 \tan \theta)^2}{(1 - g_f)^2 + (b_f + y_1 \tan \theta)^2} \right] \quad (10)$$

$$\alpha_r = 10 \log_{10} \left[\frac{(1 + g_r)^2 + (b_r + y_1 \tan \theta)^2}{(1 - g_r)^2 + (b_r + y_1 \tan \theta)^2} \right] \quad (11)$$

مشخصه های α_f و α_r به صورت تابعی از θ برای یک

دیود PIN با مشخصات $C_j = 1/2$ PF و $R_s = 2/5 \Omega$ در فرکانس $9/2$ GHz با فرض $R_{jz} = 100 \Omega$ و $R_{jr} = 1/5 \Omega$ و $Z_1 = 120 \Omega$ نشان داده شده اند.

$$\Gamma_r = \frac{(1 - g_r) - j(b_r + y_1 \tan \theta)}{(1 + g_r) + j(b_r + y_1 \tan \theta)} \quad (3)$$

به طور مشابه در حالت بایاس معکوس دیودها داریم:

$$\Gamma_r = \frac{(1 - g_r) - j(b_r + y_1 \tan \theta)}{(1 + g_r) + j(b_r + y_1 \tan \theta)} \quad (4)$$

که در آن ادmittانس دیودها در بایاس معکوس و $gr + jbr$ نرمالیزه نسبت به Y_0 می باشد.

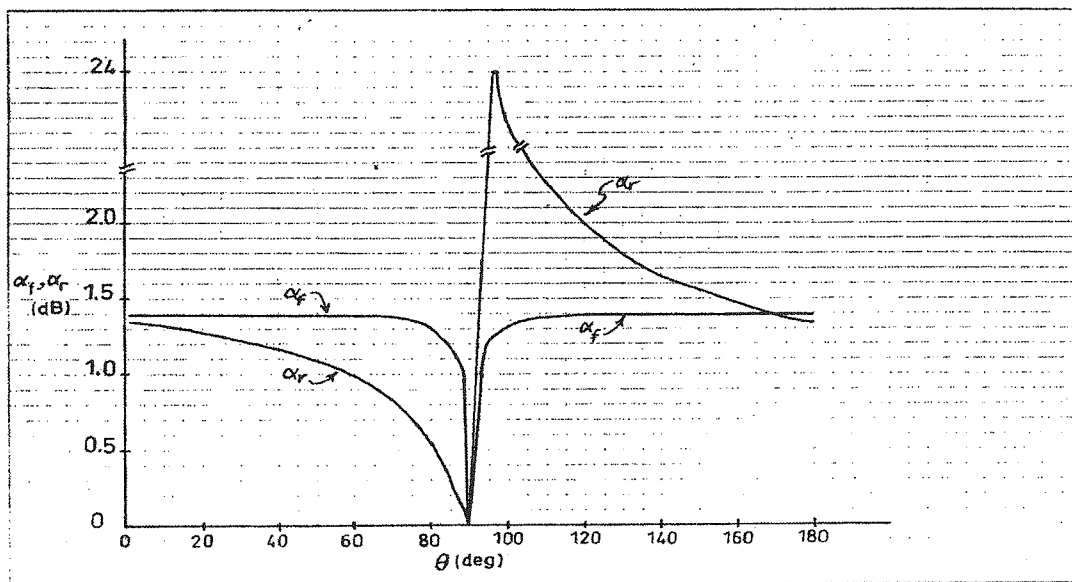
با توجه به شکل (۳-الف) و ماتریس S هیبرید به صورت زیر:

$$\begin{bmatrix} b_1 \\ b_2 \\ b_3 \\ b_4 \end{bmatrix} = \begin{bmatrix} 0 & -j\sqrt{2} & -1/\sqrt{2} & 0 \\ -j\sqrt{2} & 0 & 0 & -1/\sqrt{2} \\ -1/\sqrt{2} & 0 & 0 & -j\sqrt{2} \\ 0 & 1/\sqrt{2} & -j\sqrt{2} & 0 \end{bmatrix} \begin{bmatrix} a_1 \\ a_2 \\ a_3 \\ a_4 \end{bmatrix} \quad (5)$$

و با توجه به پایانه ها در دهانه های ۲ و ۳ داریم:

$$a_2 = \Gamma_{f,r} b_2 \quad \text{و} \quad a_3 = \Gamma_{f,r} b_3 \quad (6)$$

که در آن ضریب انعکاس در دو حالت بایاس دیود می باشد.



شکل (۴) مشخصه افت عبوری α_f و α_r به صورت تابعی از θ

برای آن که افت عبوری در دو حالت بایاس یکسان باشد باید داشته باشیم:

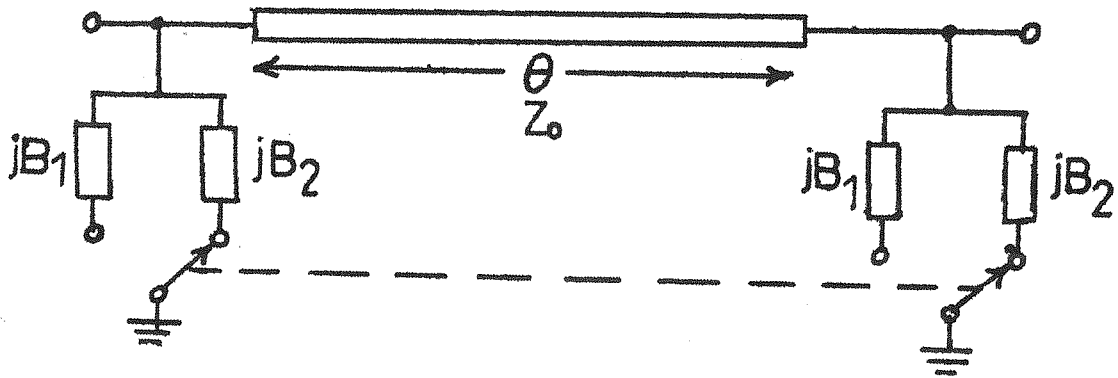
$$|\Gamma_r| = |\Gamma_f| \quad (12)$$

اختلاف فاز بین دو حالت بایاس در میدان الکتریکی خروجی برابر است با:

$$\Delta\phi = \angle \Gamma_r - \angle \Gamma_f \quad (13)$$

با بهینه سازی طول الکتریکی θ و ادمیتانس مشخصه $\Delta\Phi$ مطلوب همراه با حداقل افت عبوری و افت برگشتی می رسیم. با توجه به شکل (۴) در شرایط یکسان بودن افت عبوری در دو حالت بایاس، برای چنین دیودی افت عبوری $1/4$ dB می باشد.

۲-۲- تغییر فاز دهنده خط بار شده (Loaded Line)
در این نوع تغییر فاز دهنده دو سر طول مشخصی از خط انتقال در مسیر عبور سیگنال به وسیله دو ادمیتانس مطابق شکل (۵) بار می شود. ماتریس ABCD مجموعه گویای خصوصیات این تغییر فاز دهنده است.



شکل (۵) تغییر فاز دهنده خط بار شده (Loaded Line)

که B می تواند B_1 یا B_2 باشد. چون مدار بی اتلاف فرض شده است داریم:

$$|S_{11}| = \sqrt{1 - |S_{21}|^2} \quad (17)$$

اختلاف فاز بین دو حالت سوئیچ برابر است با:

$$\Delta\phi = \angle S_{21}|_{B=B_1} - \angle S_{21}|_{B=B_2} \quad (18)$$

در حالت $\theta = 90^\circ$ داریم:

$$\Delta\phi (\theta = 90^\circ) = \tan^{-1} \left(\frac{2 - B_1^2 Z_0^2}{2B_1 Z_0} \right) - \tan^{-1} \left(\frac{2 - B_2^2 Z_0^2}{2B_2 Z_0} \right) \quad (19)$$

افت عبوری این تغییر فاز دهنده برابر است با:

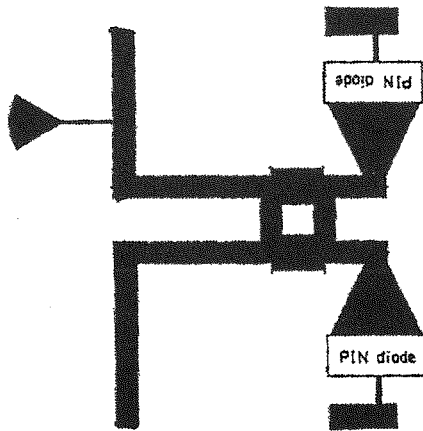
$$\alpha (\text{dB}) = 20 \log_{10} \left(\frac{1}{|S_{21}|} \right) \quad (20)$$

$$\begin{bmatrix} A & B \\ C & D \end{bmatrix} = \begin{bmatrix} 1 & 0 \\ jB & 1 \end{bmatrix} \begin{bmatrix} \cos\theta & jZ_0 \sin\theta \\ jY_0 \sin\theta & \cos\theta \end{bmatrix} \begin{bmatrix} 1 & 0 \\ jB & 1 \end{bmatrix}$$

$$= \begin{bmatrix} \cos\theta - BZ_0 \sin\theta & jZ_0 \sin\theta \\ j(2B\cos\theta - Y_0 \sin\theta - B^2 Z_0 \sin\theta) & \cos\theta - BZ_0 \sin\theta \end{bmatrix} \quad (14)$$

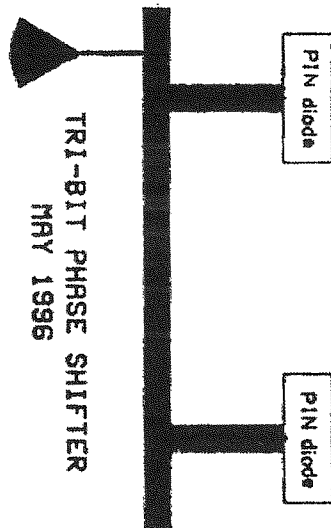
$$S_{21} = \frac{2}{A + Y_0 B + Z_0 C + D} = \frac{1}{(\cos\theta - BZ_0 \sin\theta) + j(BZ_0 \cos\theta + \sin\theta - B^2 \frac{Z_0^2}{2} \sin\theta)} \quad (15)$$

$$\angle S_{21} = -\tan^{-1} \left(\frac{BZ_0 \cos\theta + \sin\theta - B^2 \frac{Z_0^2}{2} \sin\theta}{\cos\theta - BZ_0 \sin\theta} \right) \quad (16)$$



شکل (۱۰) طرح مدار چابی تغییر فاز دهنده ۹۰ درجه

tapering دیودهای PIN و دهانه‌های مدار هیبرید به عنوان تغییر سطح امپدانس برای حصول اختلاف فاز مطلوب استفاده شده است. چون با امپدانس 50Ω همانطور که در قسمت (۳) گفته شده اختلاف فاز بین دو حالت بایاس $39/8$ درجه می‌باشد. بایاس تغییر فاز دهنده‌ها به صورت شعاعی (radial) طراحی شده که پهنای باند بیشتری دارد. طراحی تغییر فاز دهنده 45 درجه از نوع خط بار شده مطابق شکل (۱۱) می‌باشد.



شکل (۱۱) طرح مدار چابی تغییر فاز دهنده ۴۵ درجه

ترکیب سه بیت تغییر دهنده در شکل (۱۲) نشان داده شده است. نتایج تئوری تغییر فاز طراحی برای هشت

افت عبوری α_f و α_r این دیود با استفاده از روابط (۱۰) و (۱۱) برابر است با:

$$\alpha_f = 0.7 \text{ dB}$$

$$\alpha_r = 1.2 \text{ dB}$$

بنابر این با توجه به رابطه (۲۱) روی امپدانس 50Ω در تغییر فاز دهنده نوع انعکاسی، تغییر فاز $39/8^\circ$ در فرکانس کار حاصل می‌شود. برای رسیدن به تغییر فازهای بزرگتر از تبدیل امپدانس به صورت tapering استفاده می‌کنیم.

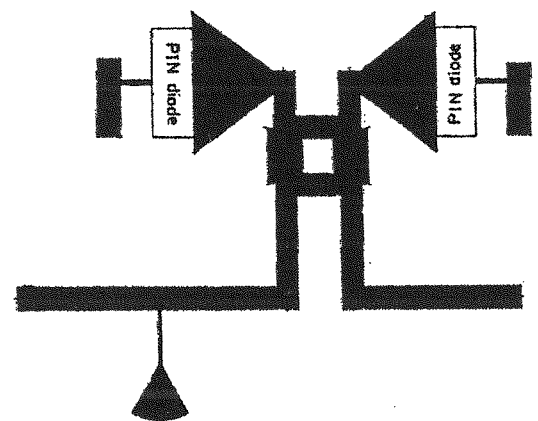
با اندازه‌گیری‌های مشابه خازن‌های کوپلاژ DC را به صورت مدار RLC سری با مقادیر $L=0/15 \text{ nH}$, $C=1 \text{ pF}$ و $R=2 \Omega$ مدل کرده‌ایم. افت عبوری خازن برابر است با:

$$\alpha \text{ (dB)} = 20 \log_{10} \left| 1 + \frac{Z}{2Z_0} \right| = 0.3 \text{ dB} \quad (22)$$

که در آن $Z_0 = 50 \Omega$ و Z امپدانس خازن در فرکانس $9/3 \text{ GHz}$ برابر است با $Z = 3 - j 8/4 \Omega$.

۴- طراحی تغییر فاز دهنده سه بیتی

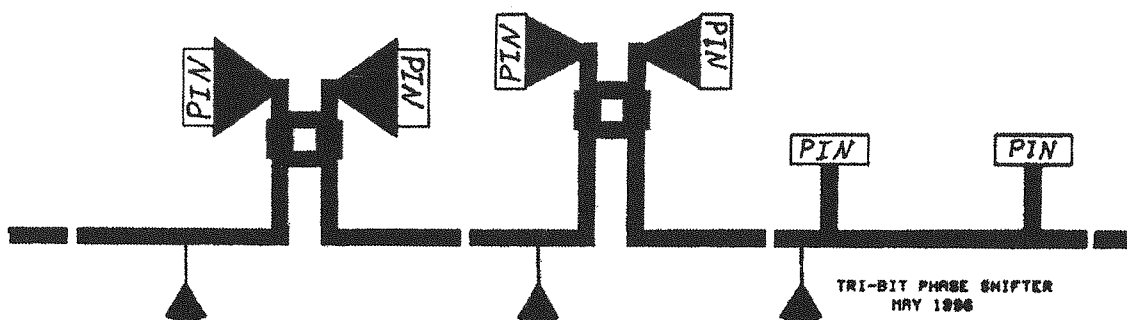
به منظور طراحی تغییر فاز دهنده سه بیتی میکرواستریبی با دیود PIN در فرکانس $9/3 \text{ GHz}$ روی زیر لایه با $\epsilon_r = 2/33$ و $h = 0/761 \text{ mm}$ تغییر فاز دهنده‌های 180 درجه و 90 درجه از نوع انعکاسی با هیبرید شاخه‌ای 90° و 3 dB مطابق شکل‌های (۹) و (۱۰) طراحی شده‌اند.



شکل (۹) طرح مدار چابی تغییر فاز دهنده ۱۸۰ درجه

حداکثر ۱۵ درجه می باشد. افت عبوری همه حالت ها روی پهنای باند ۴۰۰ MHz حول فرکانس ۹/۳ GHz حدود ۱۶ dB و افت برگشتی حدود ۱۳ dB می باشد. مشخصه های تغییر فاز روی پهنای باند مذکور به طور نسبی هموار است.

حالت فاز ۴۵° و ۹۰° و ۱۳۵° و ۱۸۰° و ۲۲۵° و ۲۷۰° و ۳۱۵° و حالت مرجع یا ۰° در شکل های (۱۳-ا) تا (۱۳-گ) و ستون آخر جدول (۱) داده شده است. حالت تغییر فاز ۳۱۵ درجه حاصل نشده و در بقیه هفت حالت دیگر حداکثر خطای فاز نسبت به حالت ایده آل



شکل (۱۴) طرح مدار چابی تغییر فازدهنده سه بیتی

شده حدود ۰/۳ dB افت عبوری دارند. از طرفی برای مدار هیبرید ۳ dB تقسیم توان، ۹۰ درجه اختلاف فاز، و تطبیق امپدانس هر سه ضروری می باشد و در حالت ایده آل ماتریس S آن به صورت زیر است:

$$[S] = \begin{bmatrix} 0 & 0.707 \angle -90^\circ & 0 & 0.707 \angle 180^\circ \\ 0.707 \angle -90^\circ & 0 & 0.707 \angle 180^\circ & 0 \\ 0 & 0.707 \angle 180^\circ & 0 & 0.707 \angle -90^\circ \\ 0.707 \angle 180^\circ & 0 & 0.707 \angle -90^\circ & 0 \end{bmatrix} \quad (23)$$

در فرکانس های بالا تحقق هر سه خواسته فوق عملی نیست و با بهینه سازی باید بین آنها سازش برقرار کرد. ماتریس S مدار هیبرید میکرواستریبی طراحی شده به صورت زیر است:

$$[S] = \begin{bmatrix} 0.21 \angle 86^\circ & 0.68 \angle -95^\circ & 0.21 \angle 175^\circ & 0.67 \angle 175^\circ \\ 0.68 \angle -95^\circ & 0.21 \angle 86^\circ & 0.67 \angle 175^\circ & 0.21 \angle 175^\circ \\ 0.21 \angle 175^\circ & 0.67 \angle 175^\circ & 0.21 \angle 86^\circ & 0.68 \angle -95^\circ \\ 0.67 \angle 175^\circ & 0.21 \angle 175^\circ & 0.68 \angle -95^\circ & 0.21 \angle 86^\circ \end{bmatrix} \quad (24)$$

باتوجه به تفاوت مدار هیبرید ساخته شده با حالت ایده آل در باند X- به همراه افت ذاتی دیودها و افت

۵- اندازه گیری پارامترهای تغییر فازدهنده سه بیتی ساخته شده

نتایج اندازه گیری هشت حالت بایاس DC تغییر فاز دهنده سه بیتی در جدول (۱) داده شده است و مشخصه های فاز هشت حالت در شکل (۱۳) با مقادیر تئوری مقایسه شده اند. از نتایج اندازه گیری در فرکانس مرکزی به تغییر فازهای ۰° و ۳۰° و ۱۲۰° و ۱۳۵° و ۱۶۰° و ۲۱۰° و ۲۵۵° ست یافته ایم و مشخصه های تغییر فاز به طور نسبی هموار است و افت عبوری به طور متوسط حدود ۱۶dB و افت برگشتی به طور متوسط حدود ۱۳ dB می باشد.

۶- بحث و نتیجه گیری

چون ساخت مدار به صورت هیبرید صورت گرفته و خازن ها و دیودها دارای عناصر پارازیت بسته بندی (package) بوده اند. همچنین اثرات لحیم کاری روی این عناصر را باید در نظر داشت. با تغییر عناصر به $R_s = 2/5 \Omega$ و $C_j = 13 \text{ pF}$ نتایج عملی توجیه می شود بنا به شکل (۴) چنین دیودی به طور ذاتی ۱/۴dB افت دارد. علاوه بر این چهار عدد خازن کوپلاژ DC به کار رفته که هر کدام همانطور که در قسمت (۳) نشان داده

مقادیر طراحی شده دارند. از آنجایی که نوعاً تثبیت پارامتر فاز در فرکانس‌های بالای مایکروویو مشکل بوده، تغییرات آن نیز با فرکانس زیاد است، در مجموع نتایج به دست آمده در مقایسه با طراحی رضایت بخش به نظر می‌رسند.

زیر نویس

۱ - backward-wave Coupler

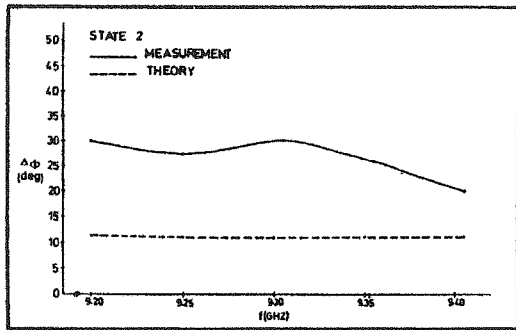
خازن‌های DC و تبدیل امپدانس به صورت tapering، همه این عوامل باعث می‌شوند که افت عبوری هر بیت تغییر فاز در تئوری حدود ۴dB باشد. اگر اثرات لحیم‌کاری و افت کانکتورها را هم به حساب بیاوریم، نتایج اندازه‌گیری افت عبوری قابل درک خواهد بود. مشخصه‌های فاز هشت حالت بایاس روی پهنای باندی حدود ۴۰۰ MHz حول فرکانس مرکزی ۹/۳ GHz مطابق طراحی هموار هستند و نتایج اندازه‌گیری نیز به جز حالت C همین کیفیت را نشان داده، تطابق نسبی با

مراجع

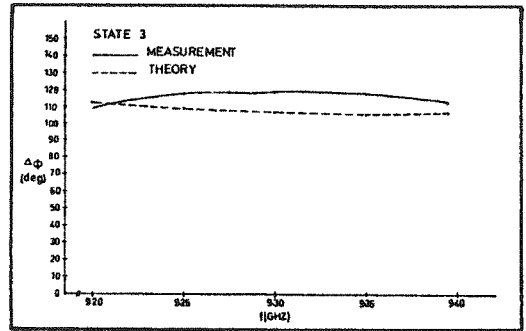
- [1] Joseph F. White, "Diode Phase Shifters for Array Antennas", IEEE Trans. Microwave Theory and Techniques Vol. MTT-22, No. 6, June 1974, pp. 658-674.
- [2] Bharathi Bhat and Shibani K. Koul, "Stripline-like Transmission Lines for Microwave Integrated Circuits," WILEY EASTERN LIMITED 1989, pp. 673-680.
- [3] Louis Stark, "Microwave Theory of phased-Array Antennas-A Review", Proceedings of the IEEE, Vol-62, No. 12, December 1974, pp 1686-92.
- [4] Franklin G. Terrio, Ronald J. Stockton and Wayne D. Sato, "A Low Cost P-I-N Diode phase shifter for Airborne Phased-Array Antennas", IEEE Trans. Microwave Theory and Techniques, Vol. MTT-22, No. 6, June 1974 pp 688-692.
- [5] Aditya K. Gupta, Errol V. Korpinen, Andy D. M. Chen and David S. Matthews, "A 17.5- GHz 3-Bit Phase-Shift Receive MMIC-Fabrication and Test Results", IEEE Transaction on Electron Devices, Vol. 37, No. 5, May 1990.
- [6] Richard W. Burns, Russell L. Holden And Raymond Tang, "Low Cost Design Techniques for Semiconductor Phase Shifter", IEEE Trans. Microwave Theory and Techniques, Vol. MTT-22, No. 6, June 1974 pp. 674-687.
- [7] Guy D. Lynes, Gerald E. Johnson, B. E. Huckleberry and Nell H. Forrest, "Design of a Broad-Band 4-Bit Loaded Switched-Line phase shifter," IEEE Trans. Microwave Theory and Techniques, Vol. MTT-22, No. 6, June 1974, pp. 693-697.

حالت	f (GHz)	اندازه گیری انت عبوری dB	اندازه گیری انت برگشتی dB	اندازه گیری $\Delta\phi$ (deg)	توری $\Delta\phi$ (deg)
۱	9.20	9.5	20	0	0
	9.25	10.5	28	0	0
	9.30	11	14	0	0
	9.35	11.5	9	0	0
	9.40	13	9	0	0
۲	9.20	17	19	30	11.5
	9.25	16	17	27	11
	9.30	15	18	30	11
	9.35	14	11	26	11
	9.40	15	9	20	11
۳	9.20	26	14	109	113
	9.25	23	13	118	109
	9.30	20	12	119	107
	9.35	18	23	118	106
	9.40	17	14	113	107
۴	9.20	26	14	58	126
	9.25	28	12	73	122
	9.30	26	12	104	119
	9.35	23	25	115	118
	9.40	21.5	13	121	118
۵	9.20	14.5	12	126	142
	9.25	16	13	125	139
	9.30	16	10	136	135
	9.35	15	8	138	132
	9.40	15	9	136	129
۶	9.20	20	16	186	142
	9.25	20	16	165	139
	9.30	20	11	160	146
	9.35	20	8	157	143
	9.40	20	8	154	140
۷	9.20	14	12	198	255
	9.25	14.5	14	205	245
	9.30	13.5	12	211	239
	9.35	13	9	213	234
	9.40	13	10	211	231
۸	9.20	22	11	228	269
	9.25	22	13	241	260
	9.30	19.5	11	254	252
	9.35	17.5	11	253	246
	9.40	16	12	253	243

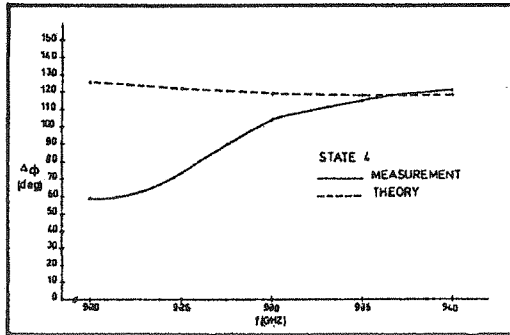
جدول (۱) نتایج اندازه گیری پارامترهای تغییر فاز دهنده سه بیتی



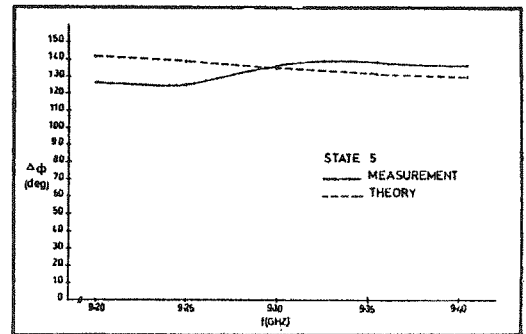
a



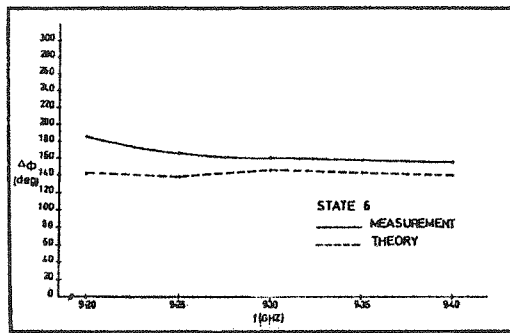
b



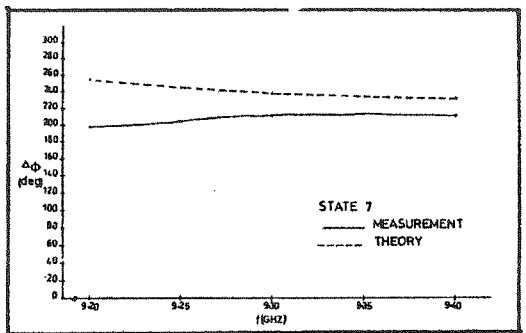
c



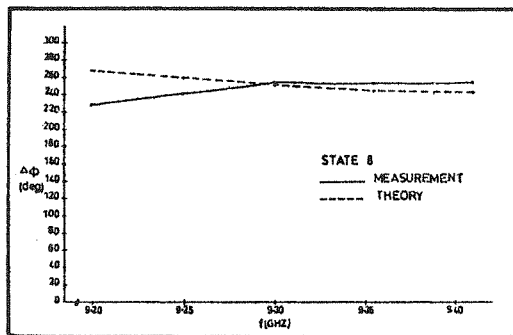
d



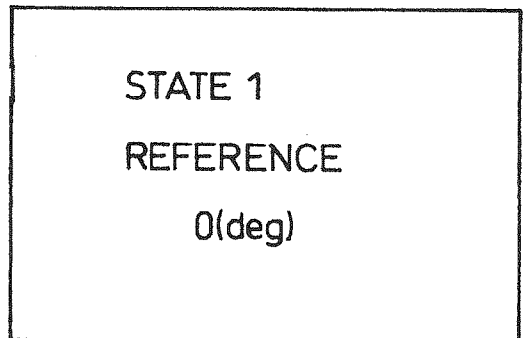
e



f



g



h

شکل (۱۳) مقایسه نتایج اندازه گیری فاز با تئوری آن